

**ელექტრონულ პარამაგნეტური რეზონაციი აჩვინიდების
ნართვებში**

ზურაბ ჩახიძიანი, ლალიტა დარჩიაშვილი
საქართველოს ტექნიკური უნივერსიტეტი

რეზიუმე

ელექტრონულ პარამაგნეტური რეზონაციი (ეპრ) წარმოადგენს იონის სპექტრში გარე ცვლადი მაგნიტური ველით ელექტრონების რეზონაციული აღგზების მოვლენას. ხაზგასმა იმისა, რომ ეპრ-ის თეორიაში ყოველი იონი (მაგნიტური დიპოლი) იზოლირებულად ითვლება ამის გარდა, კრისტალებში ბევრ იონს აქვს ჩაკეტილი ელექტრონული გარსები, რაც შეუძლებელს ხდის ასეთ სისტემაში ეპრ-ის დამზერას. ამიტომ ეპრ-ის გამოყენება შესაძლებელია გარდამავალი ჯგუფების ელემენტების იონების სპექტრების შესასწავლად პარამაგნიტურ ფაზაში. გარდამავალი ჯგუფების ელემენტებს მიეკუთხება აგრეთვე ელემენტების $5f$ -აქტინიდების ჯგუფის. ასეთი იონების შემცველი ნივთიერებები გამოკვლევის საგანია ეპრ-ის მეთოდში.

საკვანძო სიტყვები: ელექტრონული პარამაგნეტური რეზონაციი. იონის სპექტრი. მაგნიტური ველი.

1. შესავალი

აქტინიდებს შორის ყველაზე უკეთ შესწავლილი ელემენტია ურანი. იგი შეინიშნება სხვადასხვა ვალენტურ მდგომარეობაში $+2$ -დან $+6$ -მდე. ქვემოთ განხილულია სხვადასხვა ვალენტობის მქონე ურანის იონების ელექტრონულ პარამაგნიტური რეზონაციის ექსპერიმენტული შედეგები. მოცემულია აქტინიდების ჯგუფის სხვა ნაერთებზე ექსპერიმენტების შედეგები.

2. ძირითადი ნაწილი

1. ურანის ორვალენტიანი იონი. ტუტე და ტუტემიშა ფტორიდების ოპტიკური სპექტრისკონ-პის გამოკვლევებით [1, 2] დადგინდა ამ ნივთიერებებში U^{2+} იონების არსებობის შესაძლებლობა. ძირითადი ელექტრონული კონფიგურაცია არის $5f^6 5I_4$ ძირითადი დონით, რომელიც ტრიგონალურ კრისტალურ ველში გახლებილია ექვს ქვედონები. ამ ქვედონების ენერგიის მნიშვნელობაა: 0,67, 126, 167, 186 და 207 nm^{-1} . ეპრ-ის სპექტრი შეესაბამება g -ტენზორების მნიშვნელობას: $g_{\parallel}=3,2$ და $g_{\perp}=0$ [3, 4].

2. ურანის სამვალენტიანი იონი. U^{3+} იონის ეპრ-ის გამოკვლევები ძირითადად ტარდებოდა $LaCl_3$ და CaF_2 ტიპის კრისტალებზე. პირველ მათგანში C_{3h} სიმეტრიას მივყავრთ შემდეგი სახის სპინ-ჰამილტონიანამდე

$$\hat{H} = g_{\parallel} \mu_B \hat{S}_z H_z + g_{\perp} \mu_B (\hat{S}_x H_x + \hat{S}_y H_y). \quad (1)$$

$LaCl_3$ -ში U^{3+} იონის სპექტრების ექსპერიმენტული გამოკვლევებით დადგინდა მნიშვნელობები $g_{\parallel}=4,153$; $g_{\perp}=1,52$ [5].

კუბურ CaF_2 -ში U^{3+} იონების ეპრ-ის გაზომვები ტარდებოდა Ca^{2+} იონების ჩანაცვლებისას. მუხტის კომპენსაციის მიღწევა შეიძლება რამდენიმე გზით: F^- იონის ჩანერგვა ერთ-ერთ ცარიელ უჯრედში; Ca^{2+} იონის ჩანაცვლება ერთვალენტიანი იონით; F^- იონის ჩანაცვლება O^{2-} იონით ან სამი Ca^{2+} იონის ჩანაცვლება ორი U^{3+} იონით. ამასთან, მაკომპენსირებული იონების ჩანერგვით კრისტალური ველის სიმეტრია შეიძლება კუბურზე დაბალი იყოს.

$$U^{3+} \text{ იონის ძირითადი მდგომარეობა } ^4I_{9/2} (J = \frac{9}{2}) \text{ კუბური სიმეტრიის ველში იხლიჩება } \Gamma_6$$

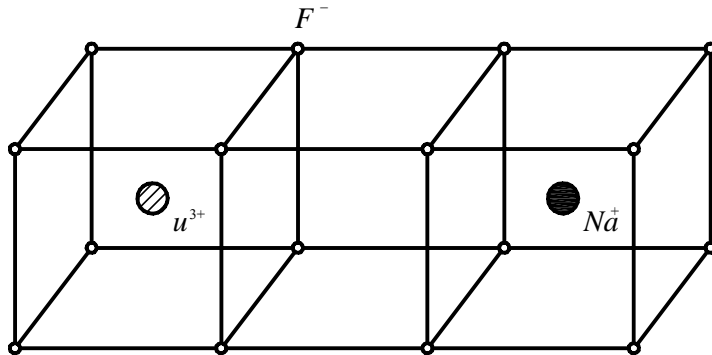
დუბლეტად და ორ I_8 კვარტეტად, რომელთაგან ერთი ძირითადია [6]. U^{3+} იონის სპექტრის კუბის წიბოების პარალელურ გარე მაგნიტურ ველში უნდა ჰქონდეს ორი ხაზი, რომლებიც შეესაბამება $|\pm\frac{3}{2}\rangle \leftrightarrow |\pm\frac{1}{2}\rangle$ და $|\frac{1}{2}\rangle \leftrightarrow |-\frac{1}{2}\rangle$ გადასვლებს. ასეთი სპექტრი აღმოჩენილია ურანით ლევირებულ CaF_2 -ში [7, 8]. ამასთან, $\hat{V}_{\text{sp}} = W \left(x \frac{\hat{O}_4}{F_4} + 1 - |x| \frac{\hat{O}_6}{F_6} \right)$ გამოსახულებაში შემავალი x აღმოჩნდება ტოლი $x=-0,487$.

თუ მუხტის კომპენსაცია წორციელდება F^1 ატომების ჩანერგვით მეზობელი უჯრედის ცენტრში, მაშინ ურანის იონის მიმართ მაკომპენსირებელი ატომი განლაგდება (1,0,0) მდგომარეობაში. ამ შემთხვევაში პოზიციის სიმეტრია ტეტრაგონური იქნება. U^{3+} იონის სპექტრების გამოკვლევებით დადგინდა g -ფაქტორის შემდეგი მნიშვნელობები:

$$g_{||}=3,501; g_{\perp}=1,966 \text{ } CaF_2\text{-ში}; g_{||}=3,433; g_{\perp}=1,971 \text{ } SrF_2\text{-ში} [9]; g_{||}=3,338; g_{\perp}=2,115, BaF_2\text{-ში} [10].$$

თუ მაკომპენსირებელი იონი ჩანერგილია (2,2,1) მდგომარეობაში, მაშინ ჩნდება ცენტრი მონკლინური სიმეტრიით. ამგვარი სპექტრები ჩვეულებრივ თან ახლავს უფრო ძლიერ ტეტრაგონურ სპექტრებს და შეინიშნებოდა GaF_2 [11] და SrF_2 -ში [12].

მუხტი კომპენსაციის დროს Ca^{2+} იონის Na^+ იონებით ჩანაცვლებით წარმოიქმნება ცენტრები ტეტრაგონური ან რომბული (1,1,0) სიმეტრიით. ასეთი კრისტალების ეპრ-ის სპექტრები მიღებულია [13, 14]-ში და შეესაბამება g -ფაქტორის $g_{||}=2,740; g_{\perp}=2,029$ ტეტრაგონური ცენტრებისათვის (ნახ.1) და $g(1\bar{1}0)=1,090; g(001)=2,308; g(110)=2,126$ რომბული ცენტრებისათვის.



ნახ.1. ცენტრები ტეტრაგონური სიმეტრიით ($g_{||}=2,740; g_{\perp}=2,029$)
(Ca^{2+} იონის Na^+ იონებით ჩანაცვლებით მუხტის კომპენსაციის დროს)

განუზავებელი UF_3 -ს იკვლევლენებული ფხვნილში [15], ექსპერიმენტით დადგინდა შემდეგი შედეგები: $g_{||}=2,8 \div 2,9; g_{\perp}=2,1 \div 2,2$.

3. ურანის ოთხვალენტანი იონი. U^{4+} იონის გარე ელექტრონული გარსის კონფიგურაციას ძირითადი დონის სახით აქვს მულტიპლეტი 3H_4 დონით $L=5, S=1, J=4$. პირველი აღგზნებული დონე 3F_2 მდებარეობს 3500 სმ⁻¹-ით ზევით. U^{4+} იონის ეპრ-ის გაზომვები ტარდებოდა ძირითადად ლეგირებულ CaF_2 -ზე. აღმოჩენდა, რომ ამ კრისტალში U^{4+} იონს აქვს პოზიცია ტრიგონალური სიმეტრიით და $g_{||}=3,238; g_{\perp}=0$ [4, 5]. შემდგომი გამოკვლევებით დადგინდა ორი ტიპის ტრიგონალური ცენტრის არსებობა $g_{||}=4,02$ -ით (I) და $g_{||}=5,66$ -ით (II) [16].

ეპრ-ის მეთოდით გამოიკვლიერ აგრეთვე UF_4 -ის ფხვნილი. აღმოჩენილია ერთი რეზონანსული ხაზი, რომელიც შეესაბამება $g=2,15$ მნიშვნელობას [15].

4. ურანის ხეთვალენტიანი იონი. U^{5+} იონის ძირითადი კონფიგურაციაა $5f^1$. მას აქვს ორი დონე: ${}^2F_{5/2}$ და ${}^2F_{7/2}$, გაყოფილი ~7500 სმ⁻¹ ინტერვალით. ეპრ-ის გამოკვლევები ტარდებოდა როგორც მინარევებზე, ისე კონცენტრირებულ ნარევებზე. როგორც მაღლებირებელი ელემენტი, ურანი შეისწავლებოდა ტუტე ფტორიდებში LiF , NaF და KF [179-181]. ამასთან, U^{5+} იონები მიღებოდა U^{6+} იონებიდან კრისტალების დასხივებისას რენტგენის ან γ -გამოსხივებით. მუხტის კომპენსაცია მიღწევა O^{2+} იონებით, ვაკანსიებით ან სხვა მინარევებით ჩანაცვლებისას.

LiF და NaF -ში აღმოჩენილია პარამაგნიტური ცენტრების რამდენიმე ტიპი. მაგრამ სჭარბობს პოზიცია C_{4v} სიმეტრიით. 1 ცხრილში ეს ცენტრი აღნიშნულია ციფრით 1.

სხვადასხვა ნაერთში U^{5+} იონის
ეპრ-ის მონაცემები

ცხრ.1

ნაერთი	$g_{//}$	g_{\perp}
NaF (1)	0,3933	0,5912
NaF (2)	0,109	0,6813
LiF (1)	0,252	0,4716
LiF (2)	0,174	0,5466
KF (2)	0,169	0,7258
CaF_2	0,190	1,047

შენიშვნა: ფრჩხილებში მოთავსებული ციფრები მიუკუთხება პარამაგნიტური ცენტრების განსხვავებულ ტიპებს (იხ. ტექსტი).

I და II ტეტრაგონური ცენტრების გარდა, NaF -ში აღმოჩენილია ცენტრები რომბული სიმეტრიით, რომლებიც შემდეგი მნიშვნელობებით ხასიათდება: $g(110)=0,5894$; $g(\bar{1}\bar{1}0)=0,5984$; $g(001)=0,5442$ [18].

CaF_2 -ში U^{5+} იონების ეპრ-ის გამოკვლევები ტარდებოდა [20, 21]-ში. სპექტრს აქსიალური სიმეტრია (111) აქვს ლერძის მიმართ და მკვეთრად გამოხატული “შუბუქი სიბრტყის” ტიპის ანიზოტროპია (იხ. ცხრ. 1).

დასასრულს, მოვიყვანოთ ცხრილი, რომელშიც თავმოყრილია ურანის კონცენტრირებულ შენაერთებში ეპრ-ის ექსპერიმენტების მონაცემები (ცხრ.2); ცალსახადაა განსაზღვრული ვალენტობა მხოლოდ ორმაგ ფტორიდებში UF_6Me , სადაც სპექტროსკოპულმა გაზომვებმა დაადგინა U^{5+} -ის ვალენტობა. სხვა ნივთიერებებში საბოლოო პასუხი კითხვაზე - ურანის იონის ელექტრონული სტრუქტურის შესახებ, ჯერ არ არის მიღებული.

ურანის კონცენტრირებულ ნაერთებზე

ეპრ-ის მონაცემები

ცხრ.2

ფორმულა	$g_{//}$	g_{\perp}
UF_6Li	0,801	0,753
UF_6Cs	0,928	0,681
UF_6Na	0,817	0,708
U_2O_5	4,04	4,04
U_3O_8	5,42	5,42
U_4O_6	2,31	2,31
Li_2UO_4	2,41	2,41
$LiUO_4$	2,18	2,18
$BaUO_4$	2,18	2,18
$MgUO_{3,8}$	2,10	2,10
$MgU_3UO_{8,9}$	2,10	2,10
$CaUO_{3,8}$	2,10	2,10

CaU_4O_{12}	2,61	2,61
$SrUO_{3,67}$	2,14	2,14
$SrU_4O_{12,8}$	2,31	2,31
$BaUO_{3,5}$	2,08	2,08
$Ba_2U_3O_{11}$	2,08	2,08

5. აქტინოიდების ზოგიერთი სხვა იონი სხვადასხვა კრისტალში. აქტინიდების მწყრივის სხვა ელემენტებზე ეპრ-ის მონაცემები შედარებით მწირია. ცნობილია ნაშრომი [19] Cs_2ZrCl_6 კრისტალში Pa^{4+} იონებზე რეზონანსის შესასწავლად. ამ იონს აქვს ერთი ელექტრონი $5f$ -შრეზე და მისი სპექტრი ჩვეულებრივი იზოტროპიული ჰამილტონიანით აღიწერება. g -ფაქტორები ამ და სხვა იონებისათვის მოცემულია 3 ცხრილში.

სამგალენტიანი ნეპტუნიუმის მაგნიტური რეზონანსის სპექტრი შეისწავლებოდა UF_6 -ში ჩა-ნერგილი NpF_6 -ის კომპლექსებზე. ექსპერიმენტის შედეგები შეესაბამება იზოტროპიულ სპინ-ჰამილტონიანს. NpF_6 კომპლექსის თეორია დაწვრილებით განხილულია [17]-ში. $LaCl_3$ -ში და ლანთანის ეთილსულფატში Cm^{3+} იონის სპექტრში შეფარდება $g_{\parallel}/g_{\perp} \approx 4$. როგორც ჩანს, ეს შეესაბამება $|\frac{1}{2}\rangle \leftrightarrow |\frac{-1}{2}\rangle$ გადასვლას იმ $J = \frac{7}{2}$ თერმის დონეებს შორის, რომლებიც გახლეჩილია აქსიალუ-რი ველით $B_2^0 \hat{O}_2^0$. მისი სიდიდეც მნიშვნელოვნად აღემატება რეზონანსული გადასვლის სიხშირეს ($\sim 0,3$ სტ $^{-1}$).

სხვადასხვა ნაერთში აქტინოიდების ეპრ-ის

მონაცემები

ცხრ.3

იონი	ნაერთი	g_{\parallel}	g_{\perp}
Pa^{4+}	Cs_2IrCl_6	1,1423	1,1423
Np^{3+}	$NpF_6 \cdot UF_6$	0,604	0,604
Fu^{3+}	$LaCl_3$	0,585	0,875
Am^{2+}	GaF_2	4,49	4,49
Cm^{3+}	ლანთანის ეთილსულფატი	1,925	7,73
	CaF_2	4,492	4,492
	$LaCl_3$	1,925	7,67
	ThO_2	4,484	4,484
	CeO_2	4,475	4,475

3. დასკვნა

ამრიგად ეპრ-ის გამოყენება შესაძლებელია გარდამავალი ჯგუფის ელემენტების იონების სპექტრის შესასწავლად პარამაგნიტურ ფაზაში. ასეთი იონების შემცველი ნივთიერებები წარმოადგენს გამოკვლევის საგანს ეპრ-ის მეთოდით.

ლიტერატურა:

1. Lupei V., Stoicescu C. Rev.Roum. Phys., 1978, V.23
2. Bleaney B., Llewellyn P.M., Jones D.A. Proc.Phys.Soc., 1956, V.B69
3. Берулава Б.Г., Санадзе Т.И. Парамагнитный резонанс. Казань: казанск. универ, 1969.
4. Mahlab E., Volterra V., Low W., Yariv A. Phys.Rev., 1963, V.131
5. Darlberg E.G., Beack T.D. Phys.Rev., 1974, V.B10
6. Lipei V., Stoicescu C., Ursu I. J.Phys. C.Sol. St.Phys., 1976, V.9
7. Lupei V., Stoicescu C., Voicu I. Rev.Roum. Phys., 1977, V.22

8. O'Brien M. Proc.Phys.Soc., 1955, V.A68
9. Melaughlan D.S. Phys.Rev., 1966, V.150
10. Lupei V., Ursu I. Proc. of the 18 th Congress Ampere, Nottingham. Ed. P.S.Allen, E.R.Andrew, C.A.Bates, 1974
11. Lipei V., Georgescu S., Ursu I. Rev.Roum.Phys., 1976, V.21
12. Lipei V., Lipei A., Georgescu S. Rev. Roum. Phys., 1976,V.21
13. Lipei V., Lipei A., Ursu I. J.Phys. C.:Sol. St.Phys., 1977, V.10
14. Rigny P., Plurien P. J.Phys.Chem.Sol., 1967, V,28
15. Drifford M., Rigny P., Plurien P. Phys.Lett., 1968, V.27A
16. Rigny P., Plurien P. J.Phys.Chem.Sol., 1957, V.28
17. Rigny P., Dianoux A.J., Plurien P. J. Phys. Chem.Sol., 1971, V.32
18. Verbist J.J., Riga T., Teuret-noel C., Pireaux J.J., d'Ursel G., Candano R., Derouane E.G. Plutonium and other Actinides. North Holland, Amsterdam, 1976
19. Sollner T.G.L.G., Rogers R.N. AIP Conf. Proc., 1974, V.105
20. Thibaud E., Pireaux I.I., Roga I. Proc. 2nd Intern. Conf.Electr.Struct.Actin., Wroclaw, 1976
21. Allen G.G., Griffits A.J., Sukhing Ch.W., Chem.Phys.Lett., 1978, V.53

ELECTRON PARAMAGNETIC RESONANCE (EPR) IN ACTINIDE COMPOUNDS

Chachkhiani Zurab, Darchiashvili Lalita

Georgian Technical University

Summary

Electron paramagnetic resonance (EPR) is a phenomenon of resonance excitation of electrons in the spectrum while the external alternating magnetic field. Underline that the theory of the EPR, each ion (magnetic dipole) is isolated. In addition, many ions in crystals have closed electron shell, which makes it impossible to observe the EPR in these systems so the vast majority of the EPR method is suitable for the study of ion spectra of transition group elements in paramagnet phase. The elements of transition group relative also 5f-actinide group. Substances containing such laws are, and is the subject of the method of EPR.

ЭЛЕКТРОННЫЙ ПАРАМАГНИТНОЙ РЕЗОНАНС (ЭПР)

В СОЕДИНЕНИЯХ АКТИНИДОВ

Чачхиани З., Дарчиашвили Л.

Грузинский Технический Университет

Резюме

Электронный парамагнитный резонанс (ЭПР) представляет собой явление резонансного возбуждения электронов в спектре пока внешним переменным магнитным полем. Подчеркнуть, что в теории ЭПР каждый ион (магнитный диполь) считается изолированным. Кроме того, многие ионы в кристаллах имеют замкнутые электронные оболочки, что делает невозможным наблюдение ЭПР в таких системах поэтому в подавляющем большинстве случаев метод ЭПР оказывается пригоден для изучения спектров ионов элементов переходных групп в парамагнитной фазе. К элементам переходных групп отноится также 5f-группы актинидов. Вещества, содержащие такие ионы, и являются предметом исследования в методе ЭПР.